

بررسی تغییرات روش‌های عملکردی ریوی بر اساس میزان دز دریافته بخش‌های فوقانی و تحتانی ریه در بیماران مبتلا به سرطان پستان

سیده مهسا عبدالمنافی^۱، محمدباقر توکلی^۱، علی اخوان^۲، ایرج عابدی^۳

مقاله پژوهشی

چکیده

مقدمه: ایجاد عوارض ریوی ناشی از پرتودرمانی پستان هنوز به درستی مشخص نشده است. این عوارض، می‌تواند به طور موقت یا دائم به ریه آسیب وارد کند. هدف از انجام این مطالعه، بررسی تغییرات پارامترهای حجمی ریوی (LVP) یا Lung volume parameters و تعیین ارتباط آنها با متوسط دز دریافته و حجمی که ۲۰ گری دریافت می‌کند (V20)، در لوبهای فوقانی و تحتانی و کل ریه بود.

روش‌ها: ۲۳ بیمار مبتلا به سرطان پستان که تحت پرتودرمانی موضعی قرار گرفته بودند، انتخاب شدند. جهت بررسی صحت دز دریافته حاصل از محاسبات سیستم طراحی درمان (Treatment planning system یا TPS)، از شش عدد Thermoluminescence dosimeter (TLD) که به طور یکنواخت داخل فانتوم قفسه‌ی سینه توزیع شدند، استفاده گردید. برای بررسی تغییرات LVP، روش Body plethysmography طی سه مرحله انجام شد.

یافته‌ها: تغییرات ۳ LVP ماه بعد از درمان، روند کاهشی و ۶ ماه بعد از درمان بهبود جزئی نشان دادند و متوسط درصد کاهش آنها ۳ ماه بعد از درمان به ازای هر گری افزایش متوسط دز دریافته ریه، ۰/۶۴٪ درصد و به ازای هر درصد افزایش V20، ۰/۳۴٪ درصد به دست آمد. ارتباط معنی‌داری بین سن و مثبت یا منفی بودن گیرندهای هورمونی با تغییرات LVP یافت نشد. کمینه و بیشینه درصد خطای محاسبات توزیع دز، به کمک هیستوگرام دز- حجم و مقادیر اندازه‌گیری شده با ۱/۸، ۰/۴۲ درصد بود.

نتیجه‌گیری: این مطالعه نشان داد که تغییرات LVP، ۳ و ۶ ماه بعد از درمان، بیمار را در معرض بیماری ریوی و کاهش برگشت‌ناپذیر حجم‌های ریوی قرار نمی‌دهد. همچنین، محاسبات توزیع دز سیستم طراحی درمان از دقت کافی برخوردار بوده است.

وازگان کلیدی: آزمون‌های عملکردی ریوی، دز پرتودرمانی، سرطان پستان

ارجاع: عبدالمنافی سیده مهسا، توکلی محمدباقر، اخوان علی، عابدی ایرج. بررسی تغییرات روش‌های عملکردی ریوی بر اساس میزان دز دریافته بخش‌های فوقانی و تحتانی ریه در بیماران مبتلا به سرطان پستان. مجله دانشکده پزشکی اصفهان ۱۳۹۸؛ ۳۷ (۵۱۴): ۶۵-۶۰.

طراحی درمان در پرتودرمانی سرطان پستان می‌باشد. عوارض ریوی تحت تأثیر عواملی چون میزان دز تابشی، حجمی از ریه که در فیلد درمانی قرار گرفته است و بسیاری از عوامل زیست‌شناختی دیگر نظیر سن، جنس، مصرف سیگار و رژیمهای شیمی‌درمانی می‌باشد (۱). رایج‌ترین عارضه‌ی ریوی، پنومونی است که به طور معمول ۱-۳ ماه بعد از پرتودرمانی رخ می‌دهد. آسیب بعدی، فیروز است که ماه‌ها یا سال‌ها پس از تابش گیری رخ می‌دهد (۲). تاکنون مطالعات متعددی برای برآورد احتمال ابتلا به پنومونی تابشی و بررسی ارتباط تغییرات

مقدمه

سرطان پستان، شایع‌ترین تومور بدخیم زنان و یکی از مهم‌ترین عوامل نگران کننده‌ی سلامتی در زنان می‌باشد (۱). روش‌های درمان سرطان شامل جراحی، پرتودرمانی و درمان سیستمیک می‌باشد. بسته به مرحله‌ی تومور، این روش‌ها به صورت منفرد یا ترکیبی استفاده می‌شوند. انجام پرتودرمانی بعد از عمل جراحی پستان، عود دوباره‌ی سرطان پستان را تا دو سوم کاهش می‌دهد و باعث افزایش ۹ درصدی بقا تا ۱۵ سال می‌شود (۲). ریه‌ها، بحرانی‌ترین اندام در

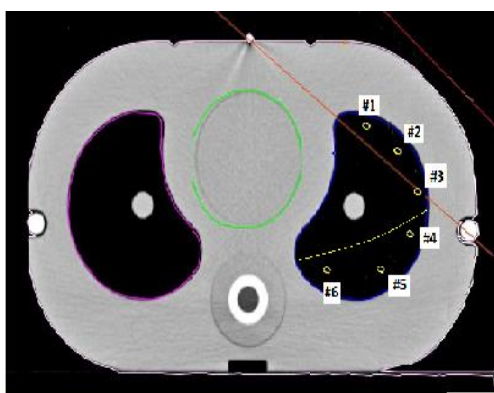
- ۱- دانشجوی کارشناسی ارشد، گروه فیزیک پزشکی، دانشکده‌ی پزشکی، دانشگاه علوم پزشکی اصفهان، اصفهان، ایران
- ۲- استاد، گروه فیزیک پزشکی، دانشکده‌ی پزشکی، دانشگاه علوم پزشکی اصفهان، اصفهان، ایران
- ۳- استادیار، گروه رادیوتراپی آنکولوژی، بیمارستان سیدالشهدا (ع)، دانشگاه علوم پزشکی اصفهان، اصفهان، ایران
- ۴- استادیار، گروه فیزیک پزشکی، دانشکده‌ی پزشکی، دانشگاه علوم پزشکی اصفهان، اصفهان، ایران

نویسنده‌ی مسؤول: محمدباقر توکلی

Email: mbtavakoli@mui.ac.ir

طراحی درمان: تمامی بیماران پرتو درمانی موضعی با فوتون ۶ مگاولت و دز کلی ۵۰۰۰ سانتی گری برای فیلد تائزانت و ۵۰۰۰ سانتی گری برای فیلد سوپراکلاویکولار به صورت روزانه ۲۰۰ سانتی گری در ۲۵ جلسه، توسط دستگاه شتاب دهنده خطي Siemens primus دریافت کردند. محدودیت دز برای ریه در بیمارانی که پرتو درمانی موضعی دریافت می‌کنند، به صورت ۳۵ درصد $> V20$ می‌باشد.^(۹)

ارزیابی صحت دز اندازه گیری شده با TPS به منظور تعیین صحت دز دریافتی توسط TPS از فاتوم تنه از نوع Polymethylmethacrylate (PMMA) و برای تعیین قسمه‌ی سینه‌ی تمامی بیماران از دزیمتر TLD-100 استفاده شد. ابعاد قسمه‌ی سینه‌ی تمامی بیماران به کمک تصاویر CT آن‌ها میانگین گیری و سپس، مدل سه بعدی فاتوم با نرم‌افزار 3D-Doctor ساخته و توسط تولید کننده فاتوم تولید شد. این فاتوم، از صفحات پلی متیل متاکریلات ساخته شده و شامل قلب، ریه، نخاع و سوراخ‌هایی برای قرار دادن TLD در داخل آن‌ها بود. TLD‌ها مطابق با روش ارایه شده توسط کارخانه‌ی سازنده‌ی آن‌ها کالیبره و در نهایت شش عدد TLD به طور یکنواخت داخل لوب‌های ریهی فاتوم توزیع و شماره گذاری شدند (شکل ۱). بعد از پرتو دهی، خوانش TLD‌ها با استفاده از دستگاه خوانش SOLARO 2A انجام شد. برای اطمینان از نتایج، اندازه گیری‌ها سه مرتبه تکرار و میانگین آن‌ها ثبت شد. دز نقاط شماره گذاری شده با استفاده از نرم‌افزار TIGRT و به کمک هیستوگرام دز - حجم محاسبه گردید. سپس، مقادیر حاصل با هم مقایسه شدند.



شکل ۱. موقعیت Thermoluminescence dosimeter (TLD)‌ها بر روی فاتوم

Body plethysmography محاسبه‌ی حجم‌ها و ظرفیت‌های ریوی با استفاده از دستگاه Body plethysmography با نام nSpire Health GmbH nSpire Health GmbH انجام شد. به کمک این روش، ابتدا حجم

پارامترهای حجمی ریوی (LVP Lung volume parameters) با متوسط دز دریافتی ریه (Mean lung dose) یا MLD بعد از پرتو درمانی سرطان پستان (۵-۷) صورت گرفته است. این مطالعات، تغییرات حجم‌های ریوی را در بازه‌ی قبیل از درمان تا یک سال بعد از آن به کمک روش اسپیرومتری بررسی کردند. این روش، قادر به اندازه گیری همه‌ی حجم‌های ریوی نیست. همچنین، در هیچ کدام از این مطالعات، دز لوب‌های فوقانی و تحتانی ریه به طور مجزا و ارتباط آن با تغییرات حجم‌های ریوی بررسی نشده بود.

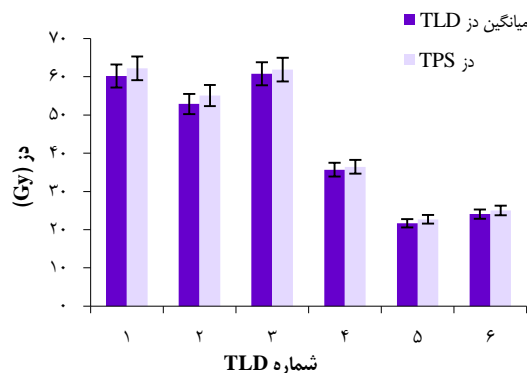
از این رو، مطالعه‌ی حاضر با هدف بررسی MLD و V20 در لوب‌های ریه و تعیین ارتباط آن‌ها با تغییرات LVP حاصل از روش Body plethysmography قبل، ۳ و ۶ ماه بعد از درمان انجام شد. اهمیت جداسازی لوب‌های ریه در مطالعه‌ی حاضر، تفاوت هر لوب و عدم انتظامی نسبت میزان تهویه (Ventilation) یا (V) به جریان خون ریوی (Perfusion) با (Q) در قله و قاعده‌ی ریه بود. جهت ارزیابی صحت نتایج حاصل از سیستم طراحی درمان (Treatment planning system) یا TLD‌ها (Treatment planning system) شده در فاتوم قسمه‌ی سینه استفاده شد.

روش‌ها

در این مطالعه، زنان مبتلا به سرطان پستان با T1-T2 و درگیری غدد لنفاوی که پس از جراحی حفظ پستان، ۶ مرحله‌ی شیمی درمانی با رژیم آنتراسیکلین و یا تاکسان که به بخش پرتو درمانی مراجعه کردند، مورد ارزیابی قرار گرفتند. بیماران مصرف کننده سیگار، افراد دارای آلرژی فصلی، مبتلایان به بیماری‌های ریوی، قلبی و کلژن واسکولار از مطالعه خارج شدند. بیمارانی که بعد از درمان، چهار عود موضعی، منطقه‌ای و یا متاستاز شده و نیاز به درمان مجدد داشتند نیز از مطالعه حذف شدند. در نهایت، ۲۳ بیمار وارد شرایط انتخاب شدند. بیماران با گیرنده‌های مثبت هورمونی که توسط پزشک آنکولوژیست تشخیص داده شده بودند، تحت هورمون درمانی هم‌زمان با پرتو درمانی قرار گرفتند.

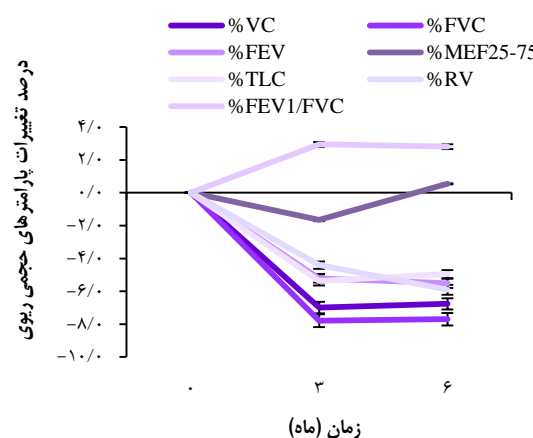
کاتنورینگ: پس از ثبت و ارسال تصاویر CT scan (Computed tomography scan) بیماران به سیستم طراحی درمان (Targeted image-guided radiation therapy) یا TIGRT (Planning target volume) یا PTV، حجم هدف (Planning target volume) و ساختارهای بحرانی (Organ at risk یا OAR) بر اساس معیارهای RTOG (Radiotherapy and Oncology Group) محاسبه شدند. لوب‌های فوقانی و تحتانی ریه توسط پزشک کاتنور شدند (۸). لوب فوقانی و میانی در بیماران با درگیری پستان راست به صورت لوب فوقانی در نظر گرفته شد.

شکل ۲، هیستوگرام نتایج را نمایش می‌دهد. کمینه و بیشینه درصد خطا این محاسبات ۱/۸ و ۴/۲ درصد به دست آمد. متوسط دز دریافتی لوب فوقانی ۲۱/۶۲ \pm ۵/۴۵ گرمی، لوب تحتانی ۴/۲۸ \pm ۲/۲۰ گرمی و کل ریه ۱۲/۰۹ \pm ۳/۴۸ گرمی و متوسط V20 به ترتیب ۴۲/۲۸ \pm ۱۰/۸۰ درصد، ۴/۴۱ \pm ۶/۶۸ درصد و ۲۲/۸۷ \pm ۶/۴۰ MLD و V20 در لوب‌ها و کل ریه به دست آمد.



شکل ۲. نمودار مقایسه میانگین دزهای مختلف (TLD) Thermoluminescence dosimeter (TPS) Treatment planning system از ۱-۶ و دز حاصل

شکل ۳، درصد متوسط تغییرات LVP را نمایش می‌دهد. مقادیر TLC، FEV1/FVC، FEV1، FVC، VC معنی‌داری را در طول درمان نشان دادند. آزمون تعقیبی LSD نشان داد که هیچ کدام از LVP اختلاف معنی‌داری بین ۳ و ۶ ماه بعد از درمان نداشتند.



شکل ۳. نمودار درصد تغییرات (LVP) نسبت به مقادیر پایه در طول زمان

FVC: Forced vital capacity; VC: Vital capacity; RV: Residual volume; FEV1: Forced expiratory flow in 1s; TLC: Total lung capacity; MEF75-25%: Maximum expiratory flow at 75-25% of VC

باقی‌مانده (RV) و ظرفیت کل ریه (TLC) و در نهایت، ظرفیت حیاتی (VC)، ظرفیت حیاتی اجباری و پرفشار (FVC)، حجم بازدمی اجباری طی اولین ثانیه‌ی بازدم (FEV1) و میزان جریان بازدمی در ۰-۷۵ MEF (Maximum expiratory flow) محسوب شدند. FEV1/FVC محاسبه شدند.

این روش در درمانگاه ریه بیمارستان الزهرا (س) اصفهان، توسط تکنسین آموزش دیده انجام شد. تمام اندازه‌گیری‌ها به عنوان درصد از مقادیر پیش‌بینی شده برای سن، جنس، وزن و قد بیماران محاسبه شد. به بیماران قبل از انجام آزمون‌ها توضیح کامل در رابطه با همکاری و اجرای صحیح آزمایش داده شد. در کلیه‌ی مراحل مطالعه، اصول اخلاقی وزارت بهداشت، درمان و آموزش پزشکی موردن توجه قرار گرفت.

تجزیه و تحلیل داده‌ها: MLD و V20 در لوب‌های ریه با استفاده از آزمون t، مقایسه تغییرات LVP در طی دوره مطالعه با استفاده از آزمون Repeated measures ANOVA و بین گروه‌ها قبل، ۳ و ۶ شش ماه بعد از درمان با استفاده از آزمون تعقیبی (LSD) Least significant difference انجام شد. در نهایت، ارتباط بین تغییرات LVP با MLD و V20 به کمک خطی Regression با LVP به کمک Pearson و ارتباط بین سن و تغییرات LVP به کمک ضرایب همبستگی Pearson و ارتباط بین مشت و یا منفی بودن گیرنده‌های هورمونی با تغییرات LVP به کمک آزمون t Independent برسی شد. کلیه‌ی تحلیل‌ها در سطح معنی‌داری ۵ درصد و به کمک نرم‌افزار SPSS (version 22, IBM Corporation, Armonk, NY) انجام شد.

یافته‌ها

میانگین سنی مبتلایان ۴۸ سال (با محدوده ۳۲-۶۲ سال) بود. نوع سرطان پستان در ۹۱ درصد از بیماران، کارسینومای داکتال مهاجم و در سایر بیماران، کارسینومای مدولاری مهاجم بود. گیرنده‌های هورمونی ۶۵ درصد از بیماران مشت بود که از میان آنها، ۶۰ درصد تاموکسیفن و ۴۰ درصد لتروزوول دریافت کردند.

تفاوت دز اندازه‌گیری شده در نقاط انتخاب شده در فانتوم و دز محاسبه شده توسط TPS (D_{calc}) به کمک رابطه‌ی $[\%] \text{ error} = [(D_{calc} - D_{mean}) / D_{mean}] * 100$ (۱) تعریف شد:

$$\text{رابطه‌ی (1)}$$

جدول ۱. ارتباط بین تغییرات LVP (Lung volume parameters) با V20 (MLD)

تغییرات LVP (واحد)	لوب فوکانی $a_0 \pm SE$	لوب تحتانی $a_0 \pm SE$	کل ریه $a_0 \pm SE$
$\Delta VC3$ (درصد/سانتی گرم)	-0.92 ± 0.38	-0.63 ± 0.23	-
$\Delta VC3$	-0.42 ± 0.06	-0.20 ± 0.10	-0.20 ± 0.10
$\Delta VC6$ (درصد/سانتی گرم)	-0.45 ± 0.25	-	-
$\Delta FVC3$ (درصد/سانتی گرم)	-0.60 ± 0.41	-	-
$\Delta FVC3$	-0.31 ± 0.08	-	-
$\Delta TLC3$ (درصد/سانتی گرم)	-0.99 ± 0.21	-0.78 ± 0.25	-
$\Delta TLC3$	-0.54 ± 0.09	-0.41 ± 0.08	-0.37 ± 0.18

تغییرات LVP: تغییرات حجم‌های ریوی بر اساس MLD (Mean lung dose) و V20. a₀: شیب Regression خطی، SE: خطای استاندارد. زیرنویس‌های (LVP) Lung volume parameters تعادل ماهیات بعد از پرتو درمانی را نمایش می‌دهند.

VC: Vital capacity; FVC: Forced vital capacity; TLC: Total lung capacity

LVP تقویت می‌شود. شش ماه بعد از درمان، بازگشت اندک همه‌ی FEV1 و RV به سمت مقادیر قبل از درمان خود، احتمال بهبود در پی گیری‌های بلندمدت را به همراه خواهد داشت. روند تغییرات LVP به صورت کاهش در پی گیری‌های مقادماتی و بهبود جزئی در پی گیری‌های طولانی‌تر با نتایج مطالعات دیگر (۱۱-۶-۷) هم‌سویی داشت. سه ماه بعد از درمان، متوسط درصد کاهش LVP به ازای هر گری افزایش MLD، $39-84$ درصد و به ازای هر درصد افزایش V20، $20-42$ درصد به دست آمد. شش ماه بعد از درمان، تنها VC به ازای هر گری افزایش MLD، 45 درصد کاهش داشت. مطالعه‌ی Theuws و همکاران (۱۱) که میانگین درصد کاهش LVP را به ازای هر گری افزایش MLD به ترتیب $0/9$ و $0/4$ درصد برای ۳ و ۱۸ ماه بعد از درمان به دست آوردند، این نتیجه را تأیید می‌کند. در این مطالعه، دز دریافتی لوب فوکانی بیشتر از دز دریافتی کل ریه و لوب تحتانی بود و به همین ترتیب، متوسط درصد کاهش‌های LVP در لوب فوکانی بیشتر از دو مورد دیگر به دست آمد. بالاتر بودن میزان درصد کاهش LVP در لوب فوکانی با توجه به مقدار بالای نسبت V/Q در قله‌ی ریه قابل پیش‌بینی بود. با این وجود، میانگین درصد کاهش‌های LVP برای هر دو لوب و کل ریه کمتر از یک درصد به دست آمد. پس در مواردی با درصد > 35 V20، بیشنهاد می‌شود که لوب‌های ریه کانتور شوند و V20 برای هر لوب جداگانه حساب شود؛ اگر V20 در لوب فوکانی کمتر از 42 درصد MLD (در لوب فوکانی) و در لوب تحتانی کمتر از 6 درصد در لوب تحتانی شد، به نظر می‌رسد که بیمار در معرض بیماری ریوی و کاهش برگشت‌ناپذیر حجم‌های ریوی قرار نخواهد گرفت. در این مطالعه، هیچ گونه ارتباط معنی‌داری بین تغییرات LVP سن و مثبت یا منفی بودن گیرنده‌های هورمونی یافت نشد. مطالعات

در مرحله‌ی بعدی، ارتباط بین تغییرات LVP (متغیرهای وابسته) با MLD و V20 برای هر لوب و کل ریه (متغیرهای مستقل) با استفاده از Regression خطی بررسی شد (جدول ۱). a₀ به صورت تغییرات LVP به ازای هر گری افزایش MLD و هر درصد افزایش V20 تعریف شد. جدول ۱، تنها پارامترهایی را نمایش می‌دهد که به سطح معنی‌دار آماری رسیده‌اند. در نهایت، ارتباطی بین کاهش LVP با سن و مثبت یا منفی بودن گیرنده‌های هورمونی یافت نشد.

بحث

تغییرات LVP بعد از پرتو درمانی و شیمی درمانی در بیماران مبتلا به سرطان پستان توسط چند مطالعه موربد بررسی قرار گرفته است (۵-۷). در این مطالعه، بیماران با نوع و ترتیب درمان همسان انتخاب شدند و طی سه مرحله، آزمون Body plethysmography بر روی بیماران انجام پذیرفت. TPS در بخش‌هایی که تفاوت عمق زیاد باشد و در بخش‌هایی که فیلد از داخل هوا بگذرد، قادر به اندازه‌گیری دقیق محاسبات نیست. به منظور ارزیابی صحت نتایج حاصل از TPS، از TLD های جاگذاری شده در فانتوم استفاده شد. مقایسه‌ی آن‌ها، اختلاف کمتر از 5 درصد را نمایش می‌دهند. نتایج این مطالعه، مشابه نتایج مطالعات Redpath و همکاران (۱۰) می‌باشد. کاهش پارامترهای VC، FVC و FEV1 سه ماه بعد از درمان به معنای عدم اتساع کامل ریه و در نتیجه، جمع شدن مقداری از هوا در آن و حاکی از درگیری ریوی به صورت الگوی تحدیدی می‌باشد. کاهش پارامتر MEF $25-75$ درصد به معنای آسیب وارد شده به برونشیول و بیانگر بیماری انسدادی ریه است، اما از آن جایی که در طی این مطالعه، این پارامتر تغییر معنی‌داری نداشت و همچنین، نسبت FEV1/FVC در محدوده‌ی طبیعی خود ($12-80$ درصد) باقی ماند، احتمال تحدیدی بودن بیماری ریوی

LVP ۳ و ۶ ماه بعد از درمان، بیمار را در معرض کاهش برگشت ناپذیر حجم‌های ریوی قرار نمی‌دهد.

تشکر و قدردانی

این مقاله برگرفته از پایان‌نامه‌ی دوره‌ی کارشناسی ارشد به شماره‌ی طرح ۳۹۶۹۵۹ می‌باشد و توسط دانشگاه علوم پزشکی اصفهان مورد حمایت مالی قرار گرفته است. بدین وسیله، از کارکنان بخش پرتو درمانی بیمارستان سیدالشهداء (ع) اصفهان، سرکار خانم شاهمرادی تکنسین بخش ریهی بیمارستان الزهرا (س)، جناب مهندس حسن‌زاده مشاور آمار تشکر و قدردانی می‌گردد.

دیگر نیز این نتایج را تأیید می‌کند (۴-۷).

از محدودیت‌های این مطالعه، می‌توان به کم بودن حجم نمونه و کوتاه بودن مدت زمان پی‌گیری بیماران اشاره کرد. همچنین، لازم است که از اقدامات تکمیلی تشخیصی، نظریه Diffusing capacity of the lungs for carbon monoxide (DLCO)، اسکن V/Q و تصاویر CT scan با وضوح بالا (HRCT یا High resolution CT scan) برای ارزیابی دقیق‌تر عملکرد ریوی بیماران استفاده گردد. نتایج حاصل از این مطالعه، نشان داد که محاسبات توزیع دز از دقت کافی برخوردار است و همچنین، این که تغییرات TPS

References

- Banegas MP, Bird Y, Moraros J, King S, Prapsiri S, Thompson B. Breast cancer knowledge, attitudes, and early detection practices in United States-Mexico border Latinas. *J Womens Health (Larchmt)* 2012; 21(1): 101-7.
- Alzoubi AS, Kandaiya S, Shukri A, Elsherbieny E. Contralateral breast dose from chest wall and breast irradiation: Local experience. *Australas Phys Eng Sci Med* 2010; 33(2): 137-44.
- Sacco M, Murgante F, Attanasio S, Fossaceca R, Brambilla M, Krengli M, et al. Breast cancer: High resolution CT in association with spirometric tests in the assessment of post-radiation pulmonary fibrosis. *Radiol Med* 2005; 110(3): 156-69.
- Gross NJ. Pulmonary effects of radiation therapy. *Ann Intern Med* 1977; 86(1): 81-92.
- Lind PA, Rosfors S, Wennberg B, Glas U, Bevegard S, Fornander T. Pulmonary function following adjuvant chemotherapy and radiotherapy for breast cancer and the issue of three-dimensional treatment planning. *Radiother Oncol* 1998; 49(3): 245-54.
- Jaen J, Vazquez G, Alonso E, Leon A, Guerrero R, Almansa JF. Changes in pulmonary function after incidental lung irradiation for breast cancer: A prospective study. *Int J Radiat Oncol Biol Phys* 2006; 65(5): 1381-8.
- Krengli M, Sacco M, Loi G, Masini L, Ferrante D, Gambaro G, et al. Pulmonary changes after radiotherapy for conservative treatment of breast cancer: a prospective study. *Int J Radiat Oncol Biol Phys* 2008; 70(5): 1460-7.
- International Commission on Radiation Units and Measurements. ICRU report 62: Prescribing, recording and reporting photon beam therapy. Bethesda, MD: ICRU; 1999.
- Nielsen MH, Berg M, Pedersen AN, Andersen K, Glavicic V, Jakobsen EH, et al. Delineation of target volumes and organs at risk in adjuvant radiotherapy of early breast cancer: national guidelines and contouring atlas by the Danish Breast Cancer Cooperative Group. *Acta Oncol* 2013; 52(4): 703-10.
- Redpath AT, Thwaites DI, Rodger A, Aitken MW, Hardman PD. A multidisciplinary approach to improving the quality of tangential chest wall and breast irradiation for carcinoma of the breast. *Radiother Oncol* 1992; 23(2): 118-26.
- Theuws JC, Muller SH, Seppenwoolde Y, Kwa SL, Boersma LJ, Hart GA, et al. Effect of radiotherapy and chemotherapy on pulmonary function after treatment for breast cancer and lymphoma: A follow-up study. *J Clin Oncol* 1999; 17(10): 3091-100.

Evaluation of the Lung Volume Changes in Patients with Breast Cancer Based on the Received Dose in the Upper and Lower Lobes of the Lung

Seyedeh Mahsa Abdemanafi¹, Mohammad Bagher Tavakoli², Ali Akhavan³, Iraj Abedi⁴

Original Article

Abstract

Background: The development of pulmonary complications after breast radiotherapy is still controversial. These complications might result in temporary or permanent damage to the lung. The aim of this study was to evaluate changes in the lung volume parameters (LVP) and to assess their relation with mean dose and the percentage of the lung receiving 20 Gy (V20) in the upper and lower lobes of the lung.

Methods: Twenty three patients with breast cancer who underwent locoregional radiotherapy were selected. Six thermoluminescence dosimeters (TLDs) were distributed uniformly throughout the chest phantom to assess the accuracy of lung dose was calculated using treatment planning system (TPS). Body plethysmography was performed before, and 3 and 6 months after radiotherapy.

Findings: Changes in LVP showed a decrease 3 months, and a slight improvement 6 months after radiotherapy. The mean percentage decrease in LVP was 0.64% and 0.34% for each Gy increase in mean lung dose (MLD) and for each percentage increase of V20, respectively. There was no significant correlation between changes in LVP with respect to age and concurrent hormonal therapy. The minimum and maximum calculation errors of the TPS were 1.8% and 4.2%, respectively.

Conclusion: This study showed that changes in LVP, 3 and 6 months after radiotherapy did not cause pulmonary disease, and the TPS dose distribution was reasonably accurate.

Keywords: Respiratory function tests, Radiotherapy dosage, Breast cancer

Citation: Abdemanafi SM, Tavakoli MB, Akhavan A, Abedi I. Evaluation of the Lung Volume Changes in Patients with Breast Cancer Based on the Received Dose in the Upper and Lower Lobes of the Lung. J Isfahan Med Sch 2019; 37(514): 60-5.

1- MSc Student, Department of Medical Physics, School of Medicine, Isfahan University of Medical Sciences, Isfahan, Iran
 2- Professor, Department of Medical Physics, School of Medicine, Isfahan University of Medical Sciences, Isfahan, Iran
 3- Assistance Professor, Department of Radiotherapy Oncology, Seyed Alshohada Hospital, Isfahan University of Medical Sciences, Isfahan, Iran

4- Assistance Professor, Department of Medical Physics, School of Medicine, Isfahan University of Medical Sciences, Isfahan, Iran
Corresponding Author: Mohammad Bagher Tavakoli, Email: mbtavakoli@mui.ac.ir